

# 새로운 계면활성제의 최근 연구 동향

(주)LG 화학/생활과학연구소  
차장 김 태 성

## 서 론

지난 일년간 계면활성제 관련분야의 특허를 조사해 보면, 신규 소재 분야에 있어서는 계면활성제의 성능<sup>1-3)</sup>, 생분해성<sup>4-6)</sup>, 그리고 인체 및 환경 안전성<sup>7-9)</sup>의 향상이 주된 테마였다. 이는 최근 과학기술과 산업이 발달함에 따라, 사람들 의 생활수준 및 생활양식이 다양해지고 환경문제에 대한 관심이 그 만큼 향상되어 이와 같은 것들을 특징으로 하는 제품의 개발이 절실히 요구되고 있기 때문이라고 생각된다.

계면활성제의 성능을 향상시키기 위해서는 주로 제미니형 계면활성제<sup>10-11)</sup> (Gemini Surfactants)가 연구되고 있으며, 새로운 연결부분의 개발<sup>12-13)</sup>, 신규 친수성 그룹의 도입<sup>14-15)</sup>, 비이온성과 음이온성 계면활성제의 혼합형<sup>16)</sup>, 등등에 관련된 연구 결과들이 보고 되었다. 제미니형 계면활성제는 한 개의 분자내에 두 개의 소수부와 두 개의 친수부를 갖는 화합물로 소수부와 친수부를 각각 한 개씩 갖는 고전적인 계면활성제에 비해 극적으로 향상된 계면활성(Surface-Active Properties)을 나타내어 최근 관심이 집중되고 있다<sup>10-11)</sup>.

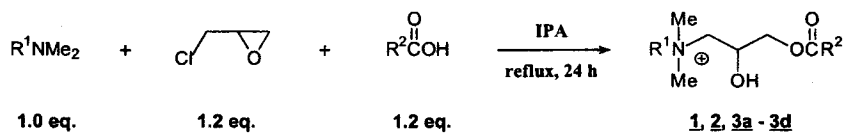
양이온성 계면활성제의 생분해성을 향상시키기 위해서는 계면활성제의 소수부에 Ester 그룹과 같이 분해되기 용이한 작용기를 도입하는 방법<sup>17-18)</sup>이 검토되고 있으며, 천연물질을 대표하는 지방산계 화합물에 Ethylene oxide<sup>19-20)</sup> 또는 Hydroxyl<sup>21-23)</sup>그룹을 도입함으로써 분자의 친수성을 향상시켜 인체 저자극성을 확보한 계면활성제들이 보고되고 있다.

따라서, 본 논문에서는 새로운 계면활성제 연구 동향의 한 방향으로써 Epichlorohydrine과 지방산을 사용하여 간단하게 소수부에 Ester 그룹을 도입한 생분해성 양이온성 계면활성제, 그리고 소수부와 친수부의 개수를 변화시킨 제미니형 계면활성제에 관한 저자의 연구 결과를 소개하고자 한다.

## 본 론

### (1) Novel Biodegradable Quaternary Ammonium Salts Quaternized by Epichlorhydrin

신규 생분해성 양이온성 계면활성제를 개발하기 위하여 Alkyl amine, Epichlorohydrin, 및 고급지방산을 반응시켜, 계면활성제의 소수부에 생분해성 작용기인 Ester 그룹을 간단히 도입하는 방법(Scheme 1)을 검토하였다.



Scheme 1. Preparation of biodegradable quaternary ammonium salts.

그 결과, 목적물인 Quaternary ammonium salt 가 간단히, 그리고, 온화한 조건에서 높은 수율로 얻어졌다. Alkyl amine, Epichlorohydrin, 및 고급지방산의 One-pot 반응은 2 개의 반응으로 이루어져 있는 것으로 생각된다. 즉, 1 단계는 고급지방산과 Epichlorohydrin 의 반응에 의해 Ester 그룹을 함유하고 있는 Alkyl chloride 의 생성반응이다. 2 단계는 생성된 Alkyl chloride 와 Alkyl amine 의 반응에 의한 4 급화 반응(Quaternarization)이다. 이러한 반응에 대하여 좀 더 자세히 고찰해 보기 위하여 반응물의 혼합비에 따른 영향을 비교 검토 하였다. 그 결과, Ester 그룹을 가지는 Alkyl chloride 의 생성시, 고급지방산은 Alkyl amine 이 존재하지 않을 때에는 Epichlorohydrin 과 거의 반응하지 않았으나, 여기에 소량의 Alkyl amine 을 첨가하면 고급지방산과 Epichlorohydrin 의 반응속도는 현저하게 증가함을 알 수 있었다. 4 급화 반응에서는 Alkyl amine, Epichlorohydrin, 및 고급지방산의 One-pot 반응이, Alkyl amine 과 생성된 Alkyl chloride 와의 반응에 의해 현저하게 빨리 진행되었다. 이는 예상치 못했던 결과로 아직 분명하지는 않으나, Alkyl amine 에 대한 반응성이 매우 높으면서도 Alkyl chloride 와는 다른 어떤 유도체, 예를 들면, Glycidyl ester 와 같은 화합물을 형성한 것으로 생각된다.

제조된 4 급 암모늄 화합물들의 계면물성을 측정하여 Table 1에 나타내었다. 화합물 1 은 물에 대한 용해도가 매우 높았으나 그 이외의 화합물들은 물에 대한 용해도가 낮아 계면물성을 측정 할 수 없었다. 그러나, 수용액의 분산상태는 매우 안정함을 알 수 있었다. 제미니형 계면활성제인 화합물 4a-4b 는 물에 쉽게 용해되며, 소수부와 친수부가 각각 한 개인 화합물 DTAC 에 비하여 매우 낮은 CMC 를 나타내었다. 이와 같은 경향은 한 분자내에 소수부와 친수부가 각각 2 개씩인 제미니형 화합물의 일반적 특징으로 일반 계면활성제의 성능을 극단적으로 향상시킬 수 있는 가능성을 제시하고 있다. 또한, 이들의 생분해도와 환경독성을 측정한 결과, 기존의 양이온성 계면활성제에 비해 매우 우수한 환경안전성을 가짐을 알 수 있었다.

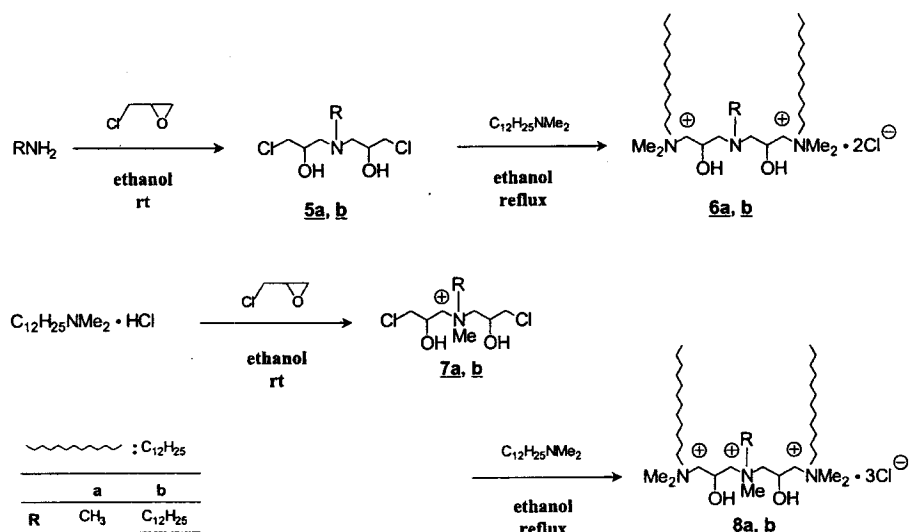
Table 1. Surface-Active Properties of Prepared Quaternary Ammonium Salts

at 20°C

Compound	R <sup>1</sup>	R <sup>2</sup>	n	Krafft point (°C)	CMC (mM)	$\gamma_{CMC}$ (mN/m)
1	HO(CH <sub>2</sub> ) <sub>2</sub>	C <sub>11</sub> H <sub>23</sub>	-	< 0	16.0	34
2	C <sub>11</sub> H <sub>23</sub> CON(CH <sub>2</sub> ) <sub>3</sub>	C <sub>11</sub> H <sub>23</sub>	-	< 0	0.12	32
3a	C <sub>11</sub> H <sub>23</sub> CO <sub>2</sub> (CH <sub>2</sub> ) <sub>2</sub>	C <sub>11</sub> H <sub>23</sub>	-	cloudy	-	-
3b	C <sub>13</sub> H <sub>27</sub> CO <sub>2</sub> (CH <sub>2</sub> ) <sub>2</sub>	C <sub>13</sub> H <sub>27</sub>	-	cloudy	-	-
3c	C <sub>13</sub> H <sub>31</sub> CO <sub>2</sub> (CH <sub>2</sub> ) <sub>2</sub>	C <sub>13</sub> H <sub>31</sub>	-	cloudy	-	-
3d	C <sub>17</sub> H <sub>35</sub> CO <sub>2</sub> (CH <sub>2</sub> ) <sub>2</sub>	C <sub>17</sub> H <sub>35</sub>	-	cloudy	-	-
4a	-	C <sub>11</sub> H <sub>23</sub>	3	< 0	0.09	32
4b	-	C <sub>11</sub> H <sub>23</sub>	6	< 0	0.20	35
-----						
DTAC		C <sub>12</sub> H <sub>25</sub> NMe <sub>3</sub> Cl		< 0	12.0	39
DDAC (C12)		(C <sub>12</sub> H <sub>25</sub> ) <sub>2</sub> NMe <sub>2</sub> Cl		32	0.18	-
DDAC (C14)		(C <sub>14</sub> H <sub>29</sub> ) <sub>2</sub> NMe <sub>2</sub> Cl		cloudy	-	-
BQADC (C12)	C <sub>12</sub> H <sub>25</sub> N(Me <sub>2</sub> )CH <sub>2</sub> CH(OH)CH <sub>2</sub> (Me <sub>2</sub> )NC <sub>12</sub> H <sub>25</sub> •2Cl			< 0	0.78	37

## (2) Synthesis and Surface-Active Properties of Multiple Quaternary Ammonium Salts

제미니형 계면활성제는 소수부와 친수부가 각각 한 개인 일반적인 계면활성제에 비하여 우수한 물에 대한 용해도, 매우 낮은 CMC, 독특한 점도 특성 등, 여러가지 주목할 만한 용액물성을 나타내고 있다. 따라서, 이러한 특성변화의 원인을 규명하고자 한 분자내의 소수부와 친수부의 개수의 변화에 따른 계면물성 변화를 4급 암모늄 화합물에 대하여 측정하였다<sup>24)</sup>.



Scheme 2. Preparation of multiple quaternary ammonium salts.

Scheme 2에 나타낸 바와 같이 Alkyl amine과 Epichlorohydrin과의 반응으로부터 가운데의 알킬사슬이 길거나(6b, 8b), 짧은 것(6a, 8a) 또는 가운데에 암모늄 이온이 존재하거나(8a, 8b) 존재하지 않는(6a, 6b) 4급 암모늄염을 제조하였다. 그들의 계면물성 측정결과를 Table 2에 나타내었다. 제조 된 모든 화합물들은 우수한 물에 대한 용해도를 나타내며, 매우 낮은 CMC를 나타낸다. 가운데 알킬사슬의 길이가 짧은 Amino 그룹을 가지고 있는 화합물 6a는 가운데 같은 길이의 Ammonio 그룹을 가지고 있는 화합물 8a와 같은 정도의 CMC를 나타내며, 이들은 가운데에 아무런 그룹도 가지고 있지 않은 제미니형 계면활성제인 BQADC(12)와 유사한 CMC를 나타낸다. 그러나, 가운데에 긴 알킬사슬을 가지고 있는 화합물 6b와 8b의 경우에는 분자 가운데에 존재하는 질소의 전하와는 관계없이 BQADC(12)보다 낮은 CMC를 나타내었다. 이와 같은 결과는, 친수부인 양전하가 분자의 CMC에 미치는 영향이 매우 작은 반면, 소수부인 알킬사슬의 경우에는 그 영향이 매우 큼을 보여준다.

제조된 화합물 6a-6b와 8a-8b를 BDQAC와 함께 Total carbon number와 CMC와의 관계를 도표화 하였다.

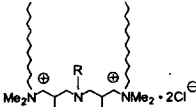
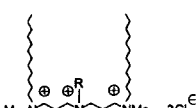
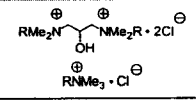
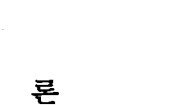
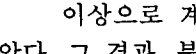
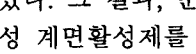
$$\log \text{cmc} = 0.85 - 0.17n \quad N = 8 \quad r = 0.991$$

n = total carbon number  
N = number of data point  
r = correlation coefficient

그 결과, 이들은 매우 우수한 직선성을 나타내었으며, 이것은 지금까지는 알킬사슬의 길이를 증대시켜 분자의 CMC를 낮추는 데에는 한계가 있었으나, 이와 같이 다수의 알킬사슬을 갖게 하면 CMC를 최대한 낮출 수 있음을 나타낸다. 또한 제조된 화합물에 대하여 기포력 및 기포안정성을 측정한 결과, 화합물 **6a**는 우수한 기포력을 나타내나, 기포안정성은 매우 낮았으며, 화합물 **6b**는 기포력과 기포안정성 모두 낮았다. 세 개의 알킬사슬과 세 개의 암모늄 그룹을 가지고 있는 **8b**의 경우에는, 우수한 기포력과 기포안정성을 동시에 나타냄으로써, 소수부와 친수부의 바alan스가 기포에 미치는 영향이 매우 큼을 알 수 있다. 또한 이와 같은 결과로부터 계면활성제의 구조를 변화시킴으로써 분자의 계면활성을 조절할 수 있는 가능성이 있음을 알 수 있었다.

Table 2. Surface-Active Properties of Prepared Quaternary Ammonium Salts

at 20 °C

Compound	R	Krafft Point (°C)	cmc (M)	$\gamma_{cmc}$ (mN/m)
	<b>6a</b>	CH <sub>3</sub>	< 0	$9.9 \times 10^{-4}$
	<b>6b</b>	C <sub>12</sub> H <sub>25</sub>	< 0	$6.2 \times 10^{-6}$
	<b>8a</b>	CH <sub>3</sub>	< 0	$4.6 \times 10^{-4}$
	<b>8b</b>	C <sub>12</sub> H <sub>25</sub>	< 0	$9.6 \times 10^{-6}$
	BQADC(C12)	C <sub>12</sub> H <sub>25</sub>	< 0	$7.8 \times 10^{-4}$
	DTAC	C <sub>12</sub> H <sub>25</sub>	< 0	$1.2 \times 10^{-2}$

## 결 론

이상으로 계면활성제의 구조적 변화에 따른 계면활성의 변화를 검토해 보았다. 그 결과, 분자내에 Ester 그룹을 도입함으로써 환경 친화성이 우수한 양이온성 계면활성제를 개발할 수 있었으며, 계면활성제 분자내의 소수부와 친수부의 개수를 조절함으로써 분자 고유의 계면활성을 조절 할 수 있었다. 따라서, 이와 같은 방법들은 지금까지의 계면활성제에 새로운 기능을 부여하고, 특정성능을 향상시킬 수 있는 새로운 방법임을 강력하게 시사하고 있다. 그러나, 이와 같은 방법들의 공업화를 달성하기 위해서는 아직도 많은 부분이 해결되어져야 할 것이다. 계면성능의 전문화, 고성능화 및 우수한 환경 친화성등을 향한 요구가 증대되어지는 현 시점에서 이들은 새로운 계면활성제의 한 방향을 제시하는 것으로 생각된다.

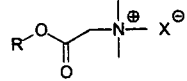
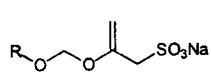
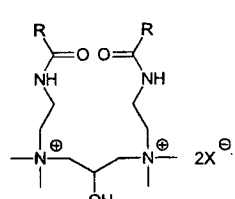
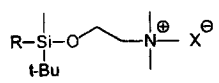
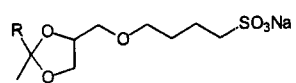
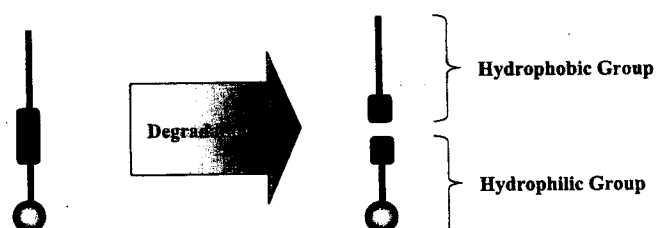
## 참 고 문 헌

- 1) US5952290
- 2) JP11246889
- 3) JP11049632
- 4) JP11246502
- 5) JP11081134
- 6) CA2149816
- 7) US5811384
- 8) JP11255892
- 9) JP11080779
- 10) Okahara, M., Masuyama, A., Sumida, Y., Zhu, Y.-P. *J. Jpn. Oil Chem. Soc. (YUKAGAKU)* **1988**, 37, 746.
- 11) Alami, E., Beinert, G., Marie, P., Zana, R. *Langmuir* **1993**, 9, 1465.
- 12) FR2777564
- 13) JP10330210
- 14) JP11080783
- 15) JP10330798
- 16) JP10330784
- 17) US5961966
- 18) 19715835
- 19) US5811384
- 20) WO9815346
- 21) US5863886
- 22) EP895979
- 23) 11269116
- 24) Kim, T.-S., Kida, T., Nakatsuji, Y., Ikeda, I. *Langmuir* **1996**, 12, 6304.

## Novel Biodegradable Quaternary Ammonium Salts Quaternized by Epichlorhydrin

LG Household & Health Care

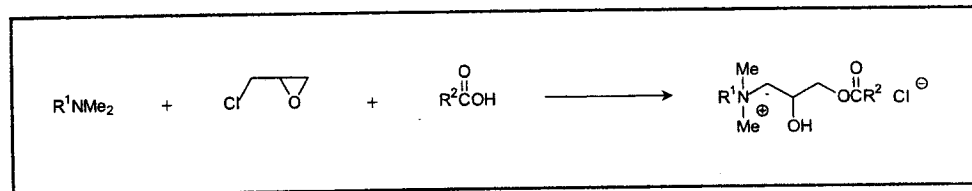
### Destructible Surfactants



LG Household & Health Care

## This Work

### One-Pot Reaction

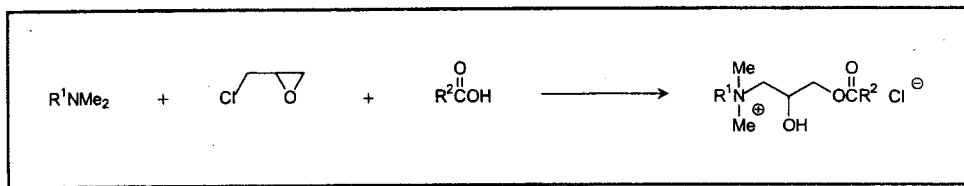


$R^1NMe_2$	Products
$HO(CH_2)_2NMe_2$	Monoalkyl Monoquaternary Ammonium Salt
$RCN(CH_2)_3NMe_2$	Dialkyl Monoquaternary Ammonium Salt
$Me_2N(CH_2)_nNMe_2$	Dialkyl Diquaternary Ammonium Salt

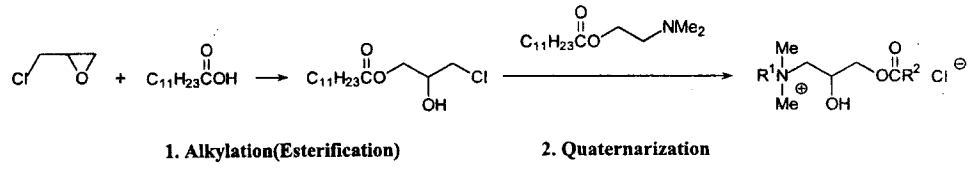
LG Household & Health Care

### Comparison of Scheme of Reactions

#### One-Pot Reaction

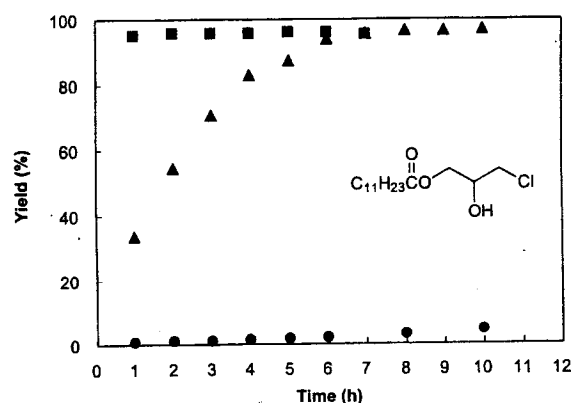


#### Two Step Reaction



LG Household & Health Care

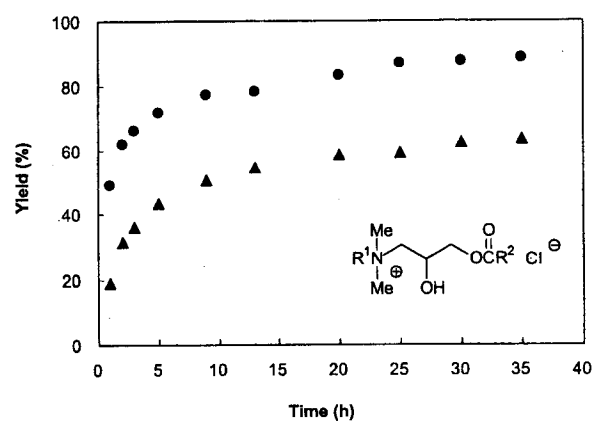
## Comparison of Reactivities of Fatty Acid with Epichlorohydrin



Run	$\text{C}_{11}\text{H}_{23}\overset{\text{O}}{\parallel}\text{CO}-\text{CH}_2-\text{NMe}_2$	+	$\text{Cl}-\text{CH}_2-\text{CH}_2-\text{O}-$	+	$\text{C}_{11}\text{H}_{23}\overset{\text{O}}{\parallel}\text{COOH}$	$\xrightarrow[\text{reflux}]{\text{IPA}}$
1 (●)	0.0 eq.			1.0 eq.		1.0 eq.
2 (▲)	0.05 eq.			1.0 eq.		1.0 eq.
3 (■)	1.0 eq.			1.0 eq.		1.0 eq.

LG Household & Health Care

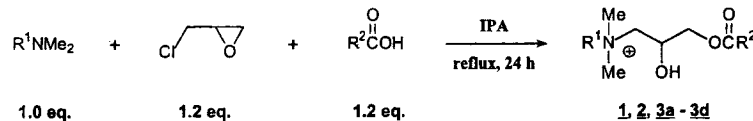
## Comparison of Reactivities of Alkylamine with Alkyl Chloride



Run	$\text{C}_{11}\text{H}_{23}\overset{\text{O}}{\parallel}\text{CO}-\text{CH}_2-\text{NMe}_2$	+	$\text{Cl}-\text{CH}_2-\text{CH}_2-\text{O}-$	+	$\text{C}_{11}\text{H}_{23}\overset{\text{O}}{\parallel}\text{COOH}$	$\xrightarrow[\text{reflux}]{\text{IPA}}$
3 (●)	1.0 eq.			1.0 eq.		1.0 eq.
4 (▲)	1.0 eq.			Alkyl Chloride : 1.0 eq.		

LG Household & Health Care

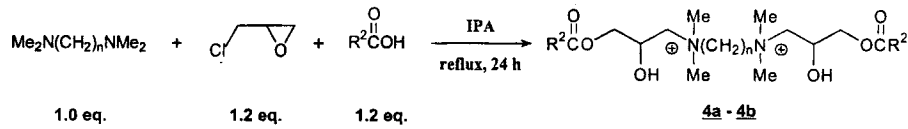
## Preparation of Monoquaternary Ammonium Salts



Compound	R <sup>1</sup>	R <sup>2</sup>	Recovery (%)	Appearance	mp (°C)
<u>1</u>	HO(CH <sub>2</sub> ) <sub>2</sub>	C <sub>11</sub> H <sub>23</sub>	65	waxy	Hygroscopic
<u>2</u>	C <sub>11</sub> H <sub>23</sub> CON(CH <sub>2</sub> ) <sub>3</sub>	C <sub>11</sub> H <sub>23</sub>	75	white solid	161-163
<u>3a</u>	C <sub>11</sub> H <sub>23</sub> CO <sub>2</sub> (CH <sub>2</sub> ) <sub>2</sub>	C <sub>11</sub> H <sub>23</sub>	78	white solid	43-46
<u>3b</u>	C <sub>13</sub> H <sub>27</sub> CO <sub>2</sub> (CH <sub>2</sub> ) <sub>2</sub>	C <sub>13</sub> H <sub>27</sub>	75	white solid	62-65
<u>3c</u>	C <sub>15</sub> H <sub>31</sub> CO <sub>2</sub> (CH <sub>2</sub> ) <sub>2</sub>	C <sub>15</sub> H <sub>31</sub>	75	white solid	73-76
<u>3d</u>	C <sub>17</sub> H <sub>35</sub> CO <sub>2</sub> (CH <sub>2</sub> ) <sub>2</sub>	C <sub>17</sub> H <sub>35</sub>	77	white solid	81-84

LG Household & Health Care

## Preparation of Bisquaternary Ammonium Salts



Compound	R <sup>2</sup>	n	Recovery (%)	Appearance	mp (°C)
<u>4a</u>	C <sub>11</sub> H <sub>23</sub>	3	80	waxy	Hygroscopic
<u>4b</u>	C <sub>11</sub> H <sub>23</sub>	6	75	white solid	185-187

LG Household & Health Care

## Surface-Active Properties of Prepared Quaternary Ammonium Salts

Compound	R <sup>1</sup>	R <sup>2</sup>	n	Krafft point (°C)	CMC (mM)	$\gamma_{CMC}$ (mN/m)	at 20°C
<b>1</b>	HO(CH <sub>2</sub> ) <sub>2</sub>	C <sub>11</sub> H <sub>23</sub>	-	< 0	16.0	34	
<b>2</b>	C <sub>11</sub> H <sub>23</sub> CON(CH <sub>2</sub> ) <sub>3</sub>	C <sub>11</sub> H <sub>23</sub>	-	< 0	0.12	32	
<b>3a</b>	C <sub>11</sub> H <sub>23</sub> CO <sub>2</sub> (CH <sub>2</sub> ) <sub>2</sub>	C <sub>11</sub> H <sub>23</sub>	-	cloudy	-	-	
<b>3b</b>	C <sub>13</sub> H <sub>27</sub> CO <sub>2</sub> (CH <sub>2</sub> ) <sub>2</sub>	C <sub>13</sub> H <sub>27</sub>	-	cloudy	-	-	
<b>3c</b>	C <sub>15</sub> H <sub>31</sub> CO <sub>2</sub> (CH <sub>2</sub> ) <sub>2</sub>	C <sub>15</sub> H <sub>31</sub>	-	cloudy	-	-	
<b>3d</b>	C <sub>17</sub> H <sub>35</sub> CO <sub>2</sub> (CH <sub>2</sub> ) <sub>2</sub>	C <sub>17</sub> H <sub>35</sub>	-	cloudy	-	-	
<b>4a</b>	-	C <sub>11</sub> H <sub>23</sub>	3	< 0	0.09	32	
<b>4b</b>	-	C <sub>11</sub> H <sub>23</sub>	6	< 0	0.20	35	
<hr/>							
<b>DTAC</b>		C <sub>12</sub> H <sub>25</sub> NMe <sub>3</sub> Cl		< 0	12.0	39	
<b>DDAC (C12)</b>		(C <sub>12</sub> H <sub>25</sub> ) <sub>2</sub> NMe <sub>2</sub> Cl		32	0.18	-	
<b>DDAC (C14)</b>		(C <sub>14</sub> H <sub>29</sub> ) <sub>2</sub> NMe <sub>2</sub> Cl		cloudy	-	-	
<b>BQADC (C12)</b>	C <sub>12</sub> H <sub>25</sub> N(Me <sub>2</sub> )CH <sub>2</sub> CH(OH)CH <sub>2</sub> (Me <sub>2</sub> )NC <sub>12</sub> H <sub>25</sub> ·2Cl			< 0	0.78	37	

 LG Household & Health Care

## Evaluation of Ecological Properties

### 1. Readily Biodegradability (OECD 301D, Closed Bottle Test)

$$\text{Biodegradation (\%)} = \frac{\text{BOD (mg O}_2/\text{mg test substance)}}{\text{COD (mg O}_2/\text{mg test substance})} \times 100$$

**Conditions**

- Inoculum : 1 mL/L
- Temperature : 20 °C
- Test Concentration : 2 ~ 5 mg/L
- Period : 28 days

### 2. Ecotoxicity

#### (1) Acute Toxicity (OECD 203, Fish, Acute Toxicity Test)

$$\text{Mortality (\%)} = \frac{\text{No. of dead fish at each concentration}}{\text{No. of exposed fish at each concentration}} \times 100$$

**Conditions**

- Organism : Oryzias Latipes
- Period : 96 hrs

 LG Household & Health Care

## Evaluation of Ecological Properties

### (2) Acute Toxicity (OECD 202, Daphnia, Acute Immobilization Test)

$$\text{Immobility (\%)} = \frac{\text{No. of immobile animals at each concentration}}{\text{No. of exposed animals at each concentration}} \times 100$$

Conditions  
- Organism : **Daphnia magna**      - Period : 48 hrs

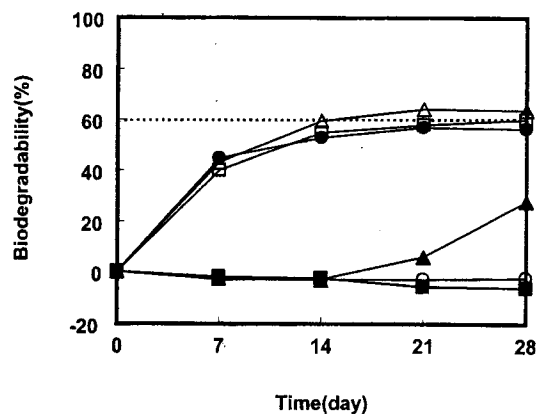
### 3. Cell Toxicity (MTT Assay)

$$\text{Viability (\%)} = \frac{\text{No. of viable cells at each concentration}}{\text{No. of exposed cells at each concentration}} \times 100$$

Conditions  
- Cell : **Mouse fibroblast 3T3 Cell Line**      - Period : 15 hrs

 **LG Household & Health Care**

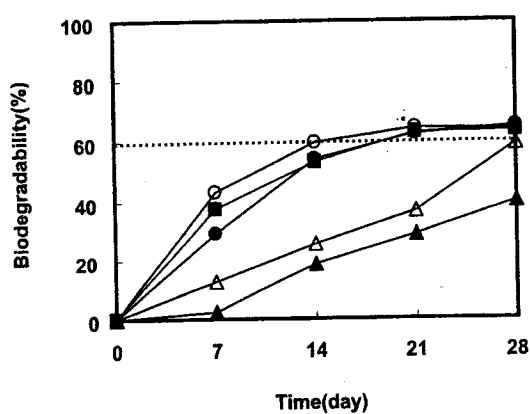
## Results of Biodegradation Test with Functional Group



Compound	R <sup>1</sup>	R <sup>2</sup>	n
1	HO(CH <sub>2</sub> ) <sub>2</sub>	C <sub>11</sub> H <sub>23</sub>	-
2	C <sub>11</sub> H <sub>23</sub> CON(CH <sub>2</sub> ) <sub>3</sub>	C <sub>11</sub> H <sub>23</sub>	-
3a	C <sub>11</sub> H <sub>23</sub> CO <sub>2</sub> (CH <sub>2</sub> ) <sub>2</sub>	C <sub>11</sub> H <sub>23</sub>	-
4a	-	C <sub>11</sub> H <sub>23</sub>	3
4b	-	C <sub>11</sub> H <sub>23</sub>	6
DDAC (C12)	(C <sub>12</sub> H <sub>25</sub> ) <sub>2</sub> NMe <sub>2</sub> Cl		

 **LG Household & Health Care**

## Results of Biodegradation Test with Length of Alkyl Chains



Compound	R <sup>1</sup> = R <sup>2</sup>
○ 3a	C <sub>11</sub> H <sub>23</sub> CO <sub>2</sub> (CH <sub>2</sub> ) <sub>2</sub>
● 3b	C <sub>13</sub> H <sub>27</sub> CO <sub>2</sub> (CH <sub>2</sub> ) <sub>2</sub>
△ 3c	C <sub>15</sub> H <sub>31</sub> CO <sub>2</sub> (CH <sub>2</sub> ) <sub>2</sub>
▲ 3d	C <sub>17</sub> H <sub>35</sub> CO <sub>2</sub> (CH <sub>2</sub> ) <sub>2</sub>

Compound	R <sup>1</sup> = R <sup>2</sup>	Amount (%)
■ Mixture	C <sub>11</sub> H <sub>23</sub> CO <sub>2</sub> H	3
	C <sub>13</sub> H <sub>27</sub> CO <sub>2</sub> H	5
	C <sub>15</sub> H <sub>31</sub> CO <sub>2</sub> H	30
	C <sub>17</sub> H <sub>35</sub> CO <sub>2</sub> H	62

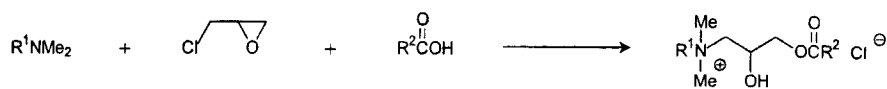
LG Household & Health Care

## Results of Evaluation of Ecotoxicity

Compound	Acute Toxicity (mg/L)		Cell Toxicity (mg/L)
	LC50 (Fish)	EC50 (Daphnia)	IC50
Mixture	15.0	103.0	183.0
DDAC(C18)	7.5	0.3	19.4

LG Household & Health Care

## Conclusion



- Novel quaternary ammonium salts were prepared from the reaction of alkyl amine with epichlorohydrin and fatty acid, simply and effectively.
- Ammonium salts with two ester groups have found to be readily biodegradable.
- And they are also milder than conventional ammonium salts in ecological properties.

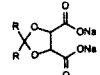
 LG Household & Health Care

## Synthesis and Surface-Active Properties of Multiple Quaternary Ammonium Salts

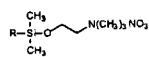
 LG Household & Health Care

## **Surfactants Featuring Additional Functions and High Performance**

### **1. Destructible Surfactants with pH**

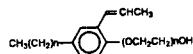


D. Ono et al., *J. Jpn. Oil Chem. (YUKAGAKU)* 1993, 42, 10.

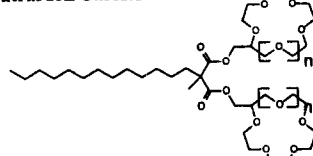


D. A. Jaeger, et al. *J. Org. Chem.* 1982, 47, 2223.

## 2. Copolymerizable Surfactants

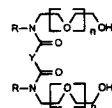


### 3. Neutral Ion Carrier



I. Ikeda et al. / Tetrahedron Lett. 1981, 22, 3615

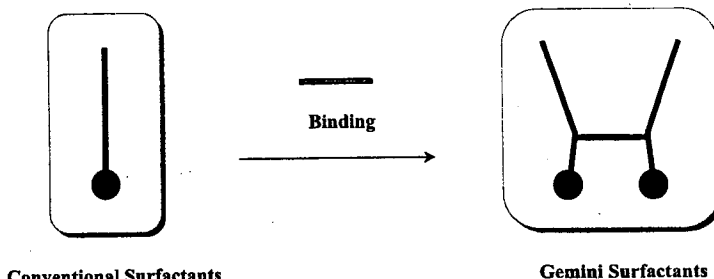
#### **4. Gemini Surfactants**



T. J. Micich, et al. *J. Am. Oil Chem.* 1998, 65, 820.

LG Household & Health Care

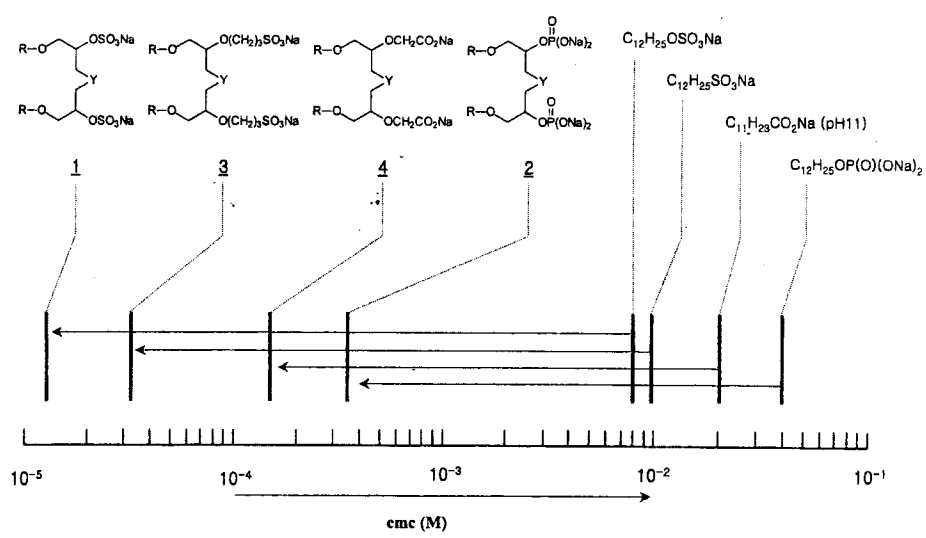
## Gemini Surfactants



Anionic Surfactants	Nonionic Surfactants	Cationic Surfactants
$\text{RCO}_2\text{Na}$		$\begin{array}{c} \text{R}^1 \\ \diagdown \\ \text{N}^+ \\ \diagup \\ \text{R}^2 \end{array} \quad \begin{array}{l} \text{R}^3 \\ \diagup \\ \text{X}^- \end{array}$
$\text{RSO}_3\text{Na}$		
$\text{ROSO}_3\text{Na}$	$\text{RO}(\text{CH}_2\text{CH}_2\text{O})_n\text{H}$	
$\text{ROP(O)(ONa}_2\text{)}$		$\begin{array}{c} \text{R}^4 \\ \diagup \quad \diagdown \\ \text{R}^3 \end{array}$

- LG Household & Health Care

## Critical Micelle Concentration(cmc) of Typical Gemini Surfactants



LG Household & Health Care

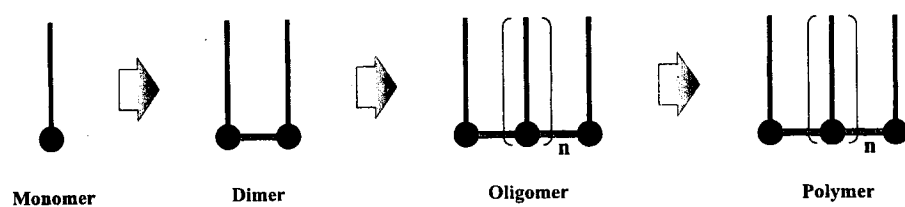
## Surface-Active Properties of Typical Gemini Surfactants

Compound	Wetting Time (sec)	Lime-soap Dispersing Ability	Stability for $Ca^{2+}$ and $Mg^{2+}$ (ppm)	at 20°C	
				0 min	5 min
Gemini Sulfate 1	80	5.8	> 6000	250	0
Gemini Phosphate 2	-	-	-	240	230
Gemini Sulfonate 3	41	6.3	> 5000	255	225
Gemini Carboxylate 4	16	-	650	250	250
$C_{12}H_{25}OSO_3Na$	86	30.0	1080	240	240
$C_{12}H_{25}OP(O)(ONa)_2$	-	-	-	-	-
$C_{12}H_{25}SO_3Na$	15	94.0	-	215	130
$C_{11}H_{23}CO_2Na$ (pH11)	226	-	250	200	170

\* R :  $C_{10}H_{21}$ ; Y :  $OCH_2CH_2O$

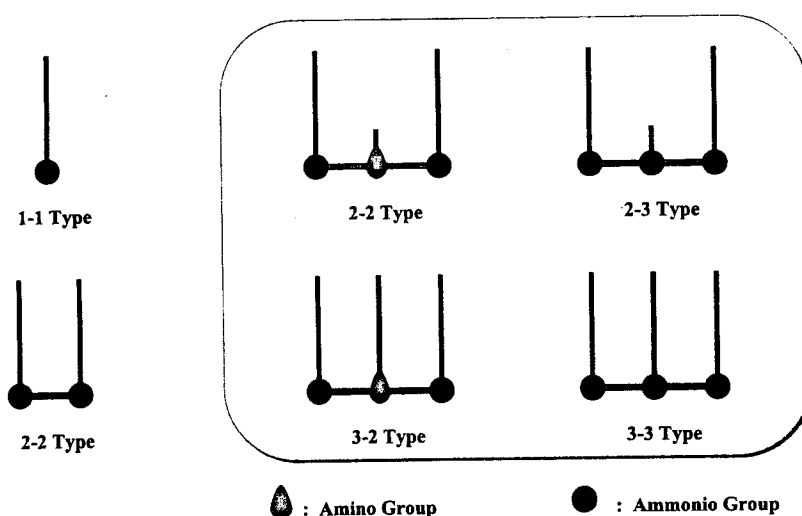
LG Household & Health Care

## Multiplication of Surface-Active Agents



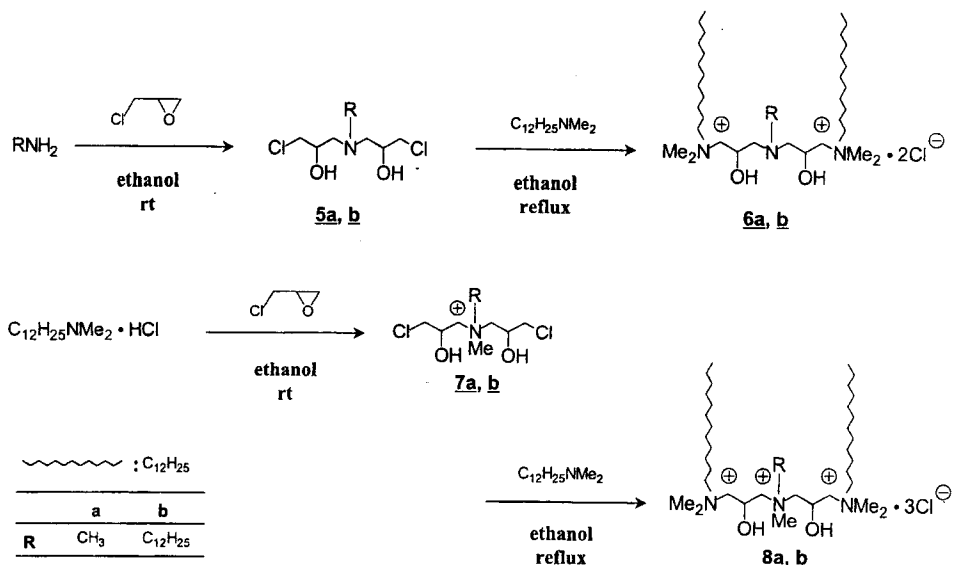
LG Household & Health Care

## Structural Design for New Multiple Ammonium Salts



LG Household & Health Care

## Synthesis of Multiple Amine-Ammonium and Ammonium Salts



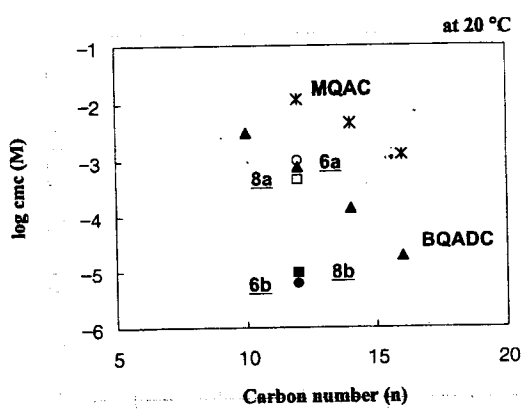
## Surface-Active Properties of Multiple Ammonium Salts

at 20 °C					
Compound	R	Krafft Point (°C)	cmc (M)	$\gamma_{cmc}$ (mN/m)	
	<b>6a</b> CH <sub>3</sub>	< 0	9.9 x 10 <sup>-4</sup>	42	
	<b>6b</b> C <sub>12</sub> H <sub>25</sub>	< 0	6.2 x 10 <sup>-6</sup>	35	
	<b>8a</b> CH <sub>3</sub>	< 0	4.6 x 10 <sup>-4</sup>	39	
	<b>8b</b> C <sub>12</sub> H <sub>25</sub>	< 0	9.6 x 10 <sup>-6</sup>	32	
	<b>BQADC(C12)</b> C <sub>12</sub> H <sub>25</sub>	< 0	7.8 x 10 <sup>-4</sup>	37	
	<b>DTAC</b> C <sub>12</sub> H <sub>25</sub>	< 0	1.2 x 10 <sup>-2</sup>	39	

~~~~~ : C<sub>12</sub>H<sub>25</sub>

LG Household & Health Care

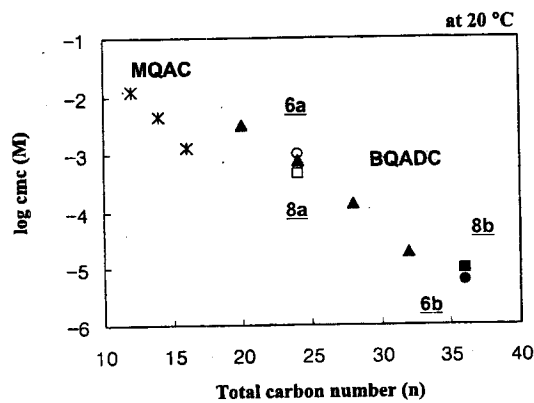
## Plots of cmc vs. Carbon Number of Multiple Ammonium Salts



| Compound | R                               | Structure                                                                                                              |
|----------|---------------------------------|------------------------------------------------------------------------------------------------------------------------|
| BQADC    | C <sub>10</sub> H <sub>21</sub> |                                                                                                                        |
|          | C <sub>12</sub> H <sub>25</sub> | $\text{RMe}_2\text{N}-\overset{\oplus}{\text{C}}(\text{H}_2\text{OH})-\text{NMe}_2\text{R} \cdot 2\text{Cl}^{\ominus}$ |
|          | C <sub>14</sub> H <sub>29</sub> |                                                                                                                        |
|          | C <sub>16</sub> H <sub>33</sub> |                                                                                                                        |
| MQAC     | C <sub>12</sub> H <sub>25</sub> |                                                                                                                        |
|          | C <sub>14</sub> H <sub>29</sub> | $\text{RNMe}_3 \cdot \text{Cl}^{\ominus}$                                                                              |
|          | C <sub>16</sub> H <sub>33</sub> |                                                                                                                        |

LG Household & Health Care

## Plots of cmc vs. Total Carbon Number of Multiple Ammonium Salts



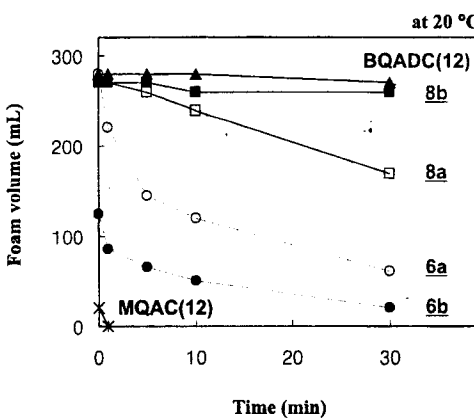
| Compound | R                               | Structure                                                                                                              |
|----------|---------------------------------|------------------------------------------------------------------------------------------------------------------------|
| BQADC    | C <sub>10</sub> H <sub>21</sub> |                                                                                                                        |
|          | C <sub>12</sub> H <sub>25</sub> | $\text{RMe}_2\text{N}-\overset{\oplus}{\text{C}}(\text{H}_2\text{OH})-\text{NMe}_2\text{R} \cdot 2\text{Cl}^{\ominus}$ |
|          | C <sub>14</sub> H <sub>29</sub> |                                                                                                                        |
|          | C <sub>16</sub> H <sub>33</sub> |                                                                                                                        |
| MQAC     | C <sub>12</sub> H <sub>25</sub> |                                                                                                                        |
|          | C <sub>14</sub> H <sub>29</sub> | $\text{RNMe}_3 \cdot \text{Cl}^{\ominus}$                                                                              |
|          | C <sub>16</sub> H <sub>33</sub> |                                                                                                                        |

$$\log \text{cmc} = 0.85 - 0.17n \quad N = 8 \quad r = 0.991$$

n = total carbon number  
N = number of data point  
r = correlation coefficient

LG Household & Health Care

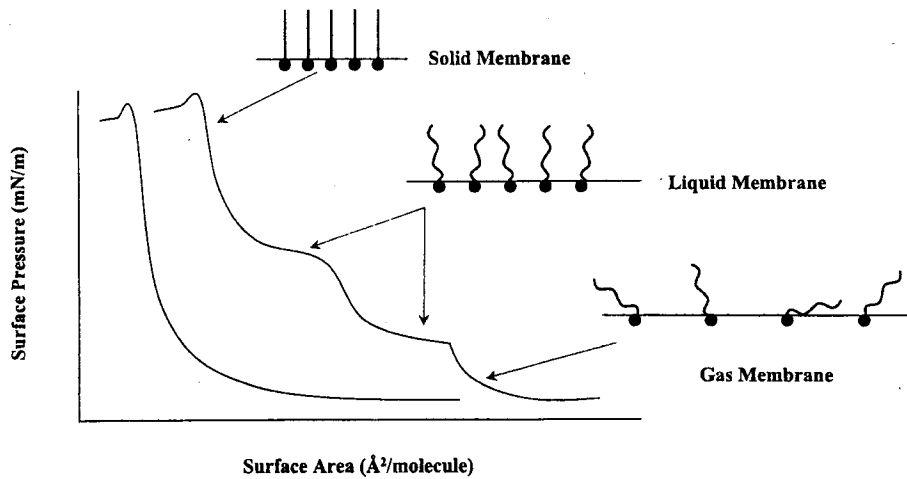
## Foaming Properties of Multiple Ammonium Salts



| Compound  | R                               | Structure                                                                                                                                        |
|-----------|---------------------------------|--------------------------------------------------------------------------------------------------------------------------------------------------|
| BQADC(12) | C <sub>12</sub> H <sub>25</sub> | $\text{RMe}_2\overset{\oplus}{\text{N}}-\overset{\oplus}{\text{C}}(\text{OH})-\overset{\oplus}{\text{NMe}_2}\text{R} \cdot 2\text{Cl}^{\ominus}$ |
| MQAC(12)  | C <sub>12</sub> H <sub>25</sub> | $\text{RNMe}_3 \cdot \text{Cl}^{\ominus}$                                                                                                        |

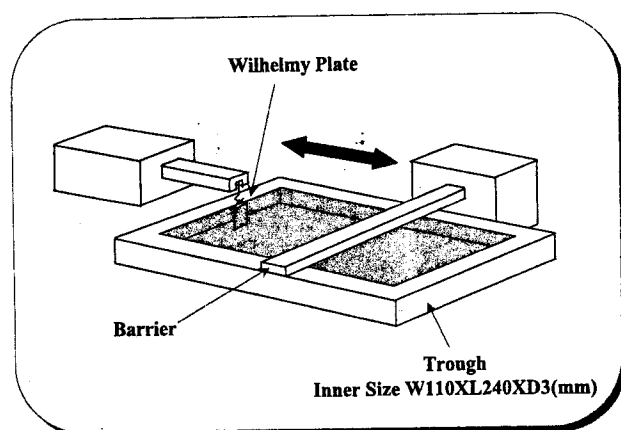
LG Household & Health Care

## Surface Pressure-Molecular Area ( $\pi$ -A) Isotherm



LG Household & Health Care

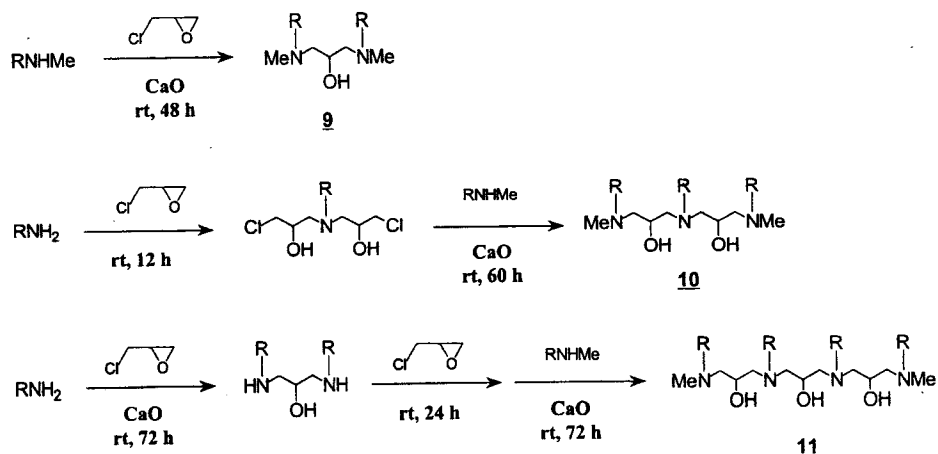
## Measuring Instruments for Surface Pressure-Molecular Area ( $\pi$ -A) Isotherm



**Surface Tension; Wilhelmy method**  
 Temperature; 25°C  
 Developing Solvent; Benzene  
 Developing Concentration; 0.1 mg/mL  
 Developing Amount; 130 $\mu$

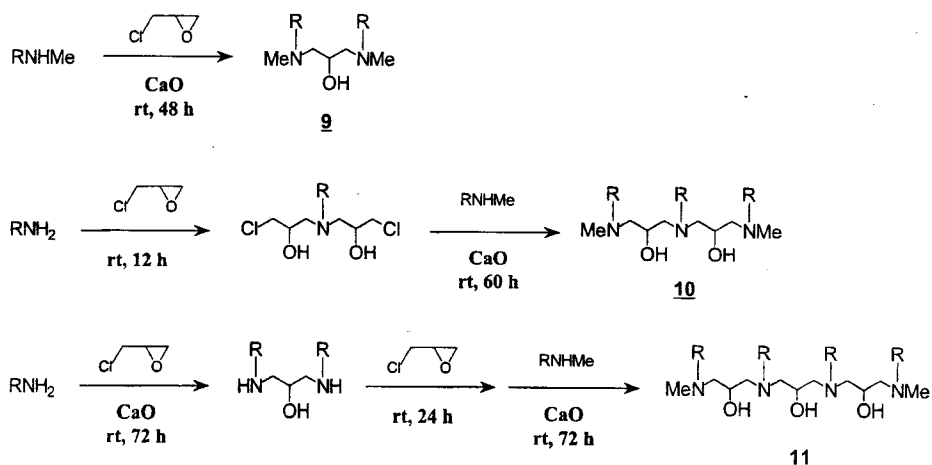
LG Household & Health Care

## Preparation of Multiple Amines



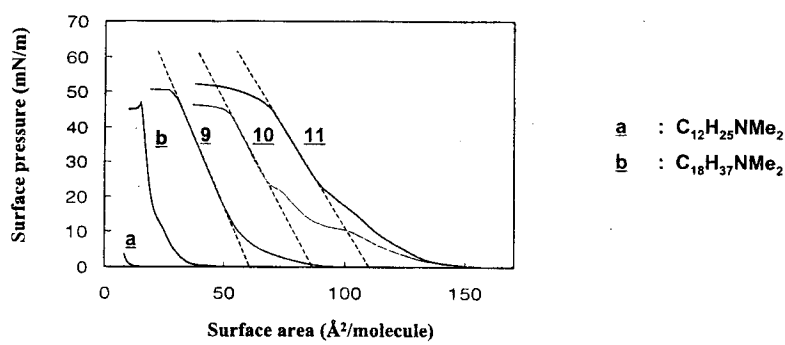
LG Household & Health Care

## Preparation of Multiple Amines



LG Household & Health Care

## $\pi$ -A Isotherms of Multiple Amines



| Compound<br>(No. of amine unit, $N_{eq.}$ ) | Surface Area ( $\text{\AA}^2/\text{molecule}$ ) |                      |
|---------------------------------------------|-------------------------------------------------|----------------------|
|                                             | $A_\infty$                                      | $A_\infty / N_{eq.}$ |
| <b>9</b> (2)                                | 60                                              | 30                   |
| <b>10</b> (3)                               | 86                                              | 29                   |
| <b>11</b> (4)                               | 106                                             | 27                   |

LG Household & Health Care

## Conclusion

The connection of two conventional amphiphilic molecules with a spacer is a useful way to improve dramatically their surface-active properties.

The properties of a spacer, like as length, hydrophilicity (or hydrophobicity) and steric hindrance, has important effects on the surface-active properties of gemini surfactants.

In the case of multiquaternary ammonium compounds, it appears to be possible to control the surface-active properties of them with changing their structure.